

1/29

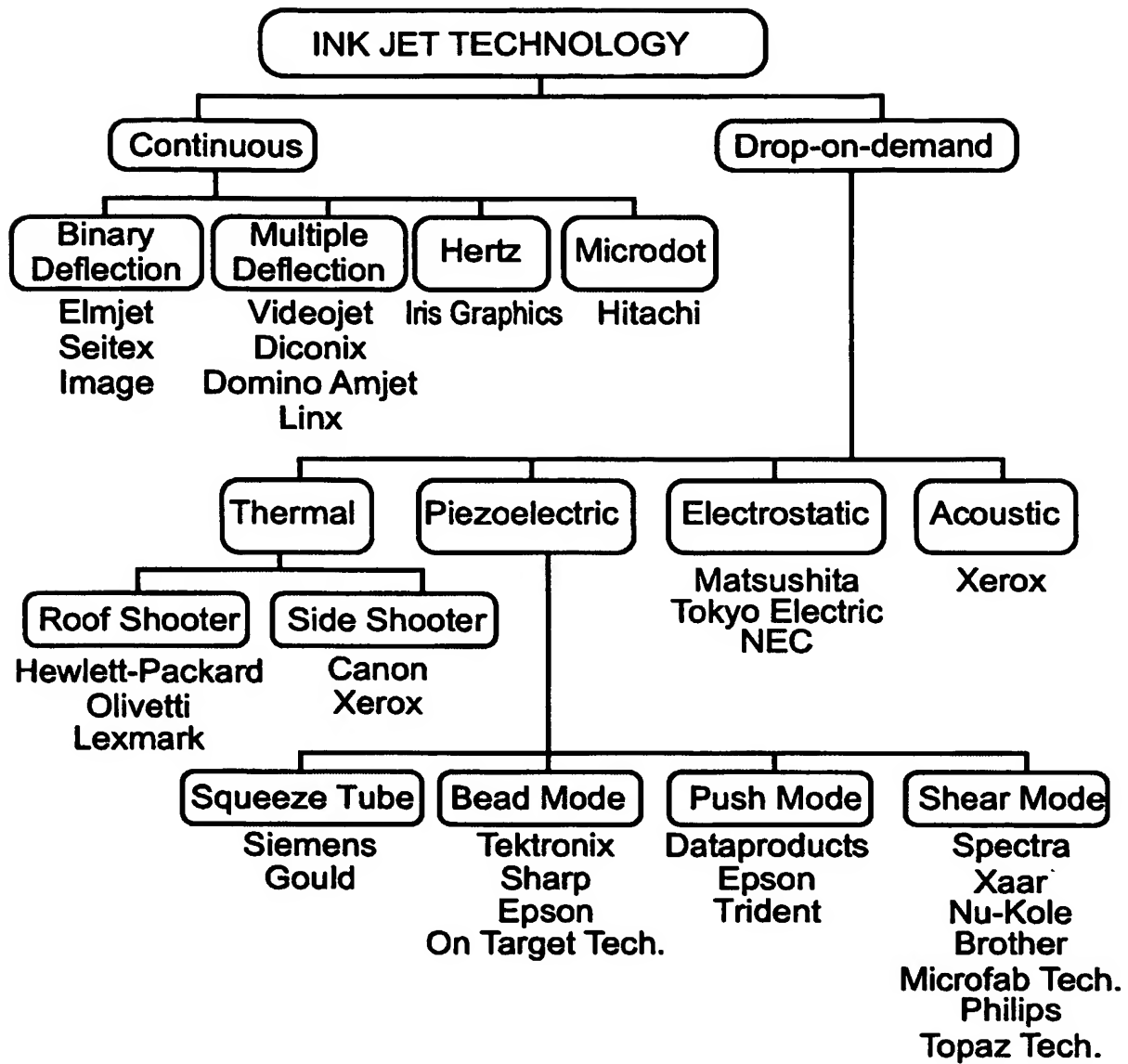


Fig. 1

2/29

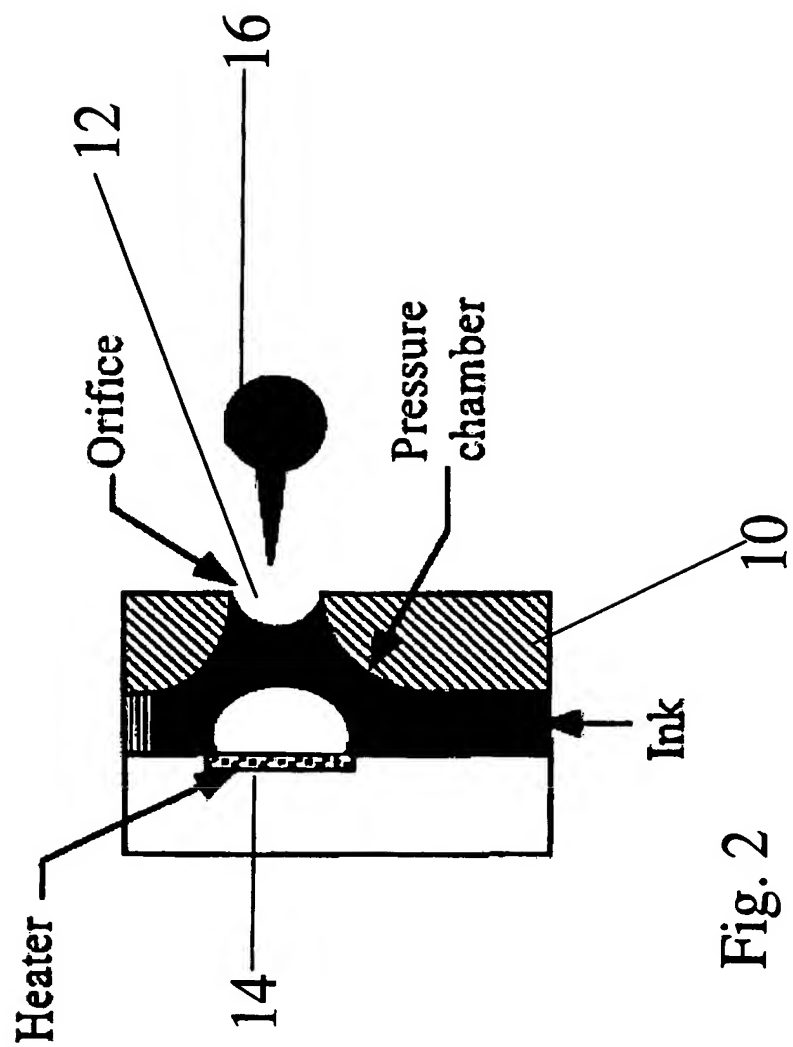


Fig. 2

3/29

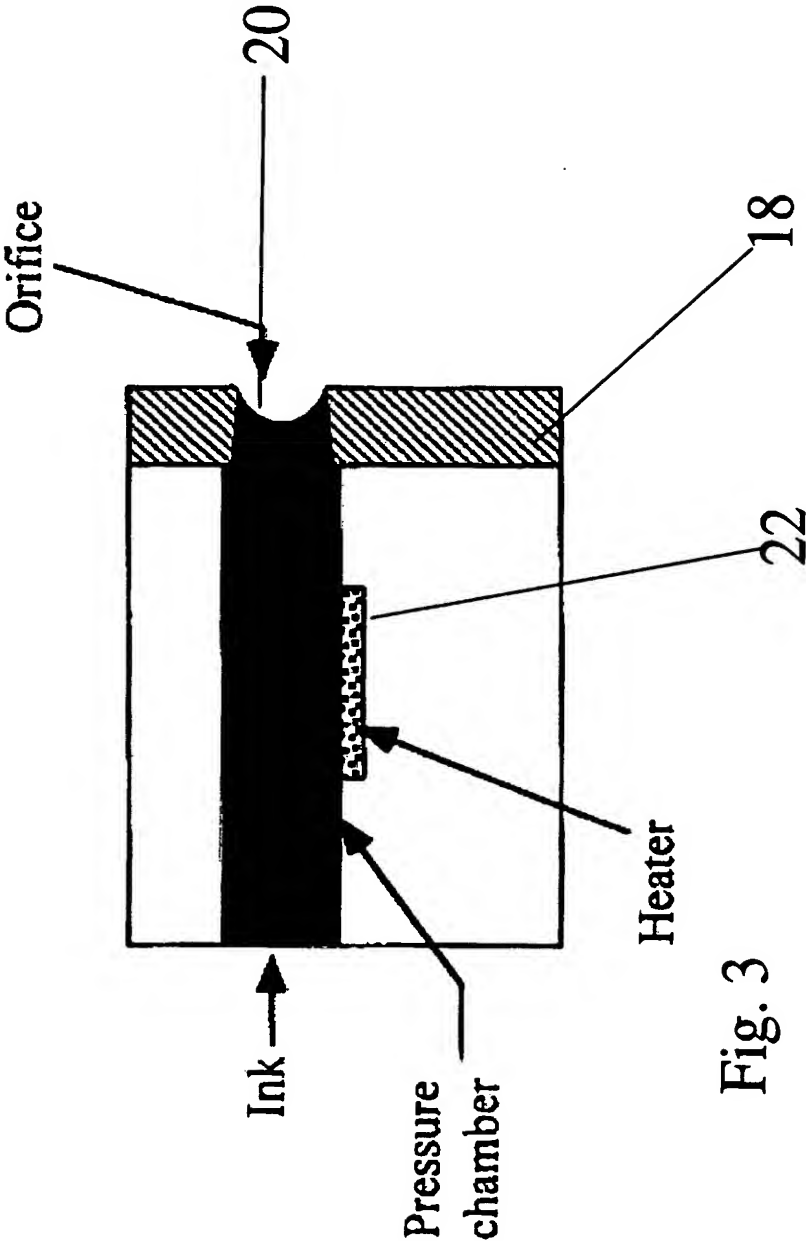


Fig. 3

4/29

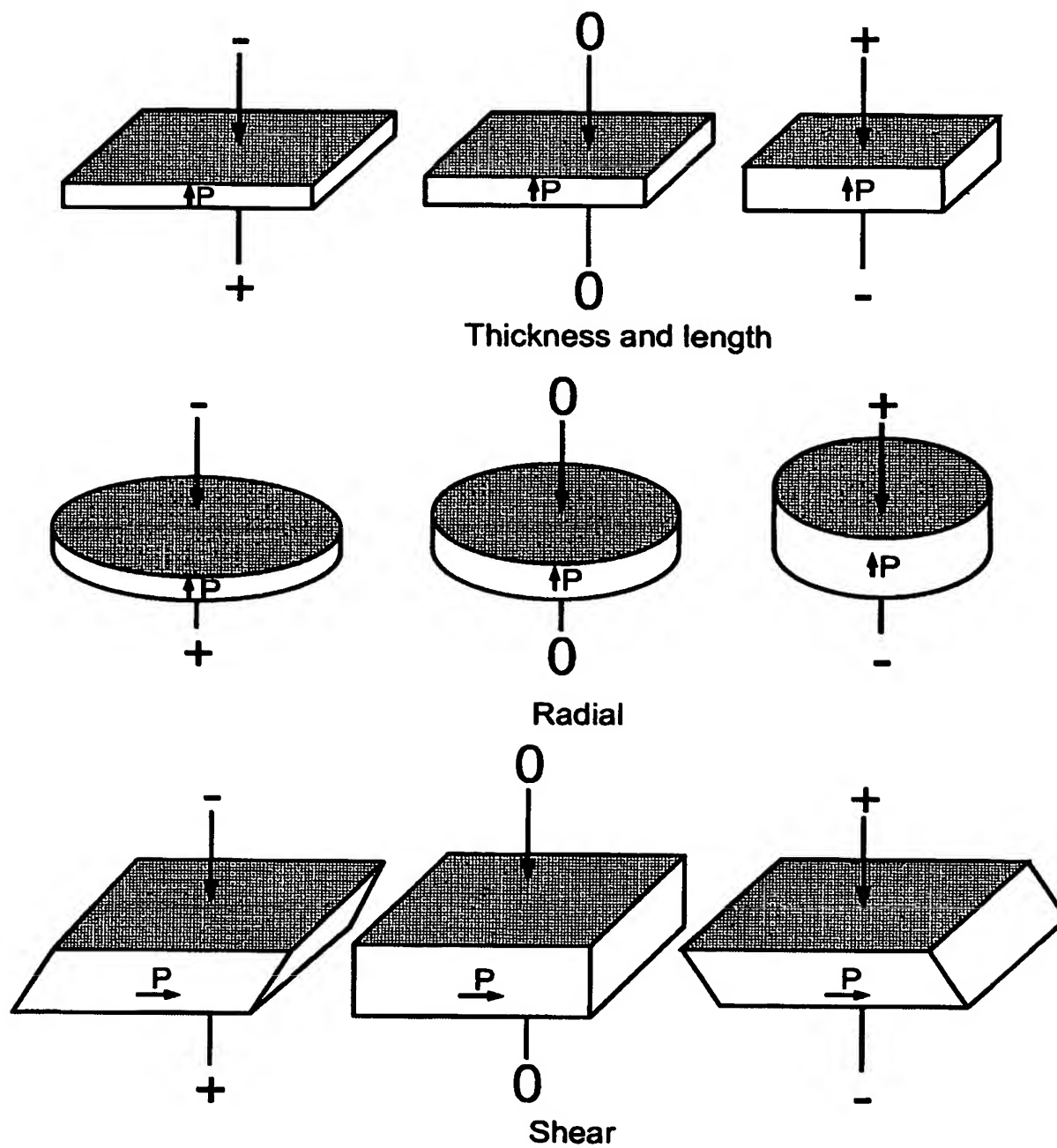


Fig. 4

5/29

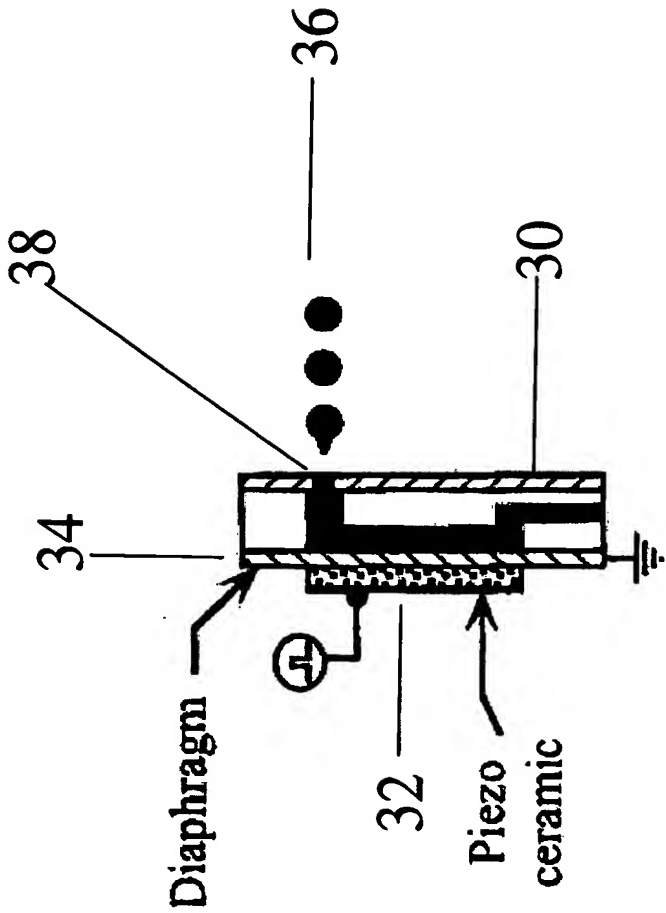


Fig. 5

6/29

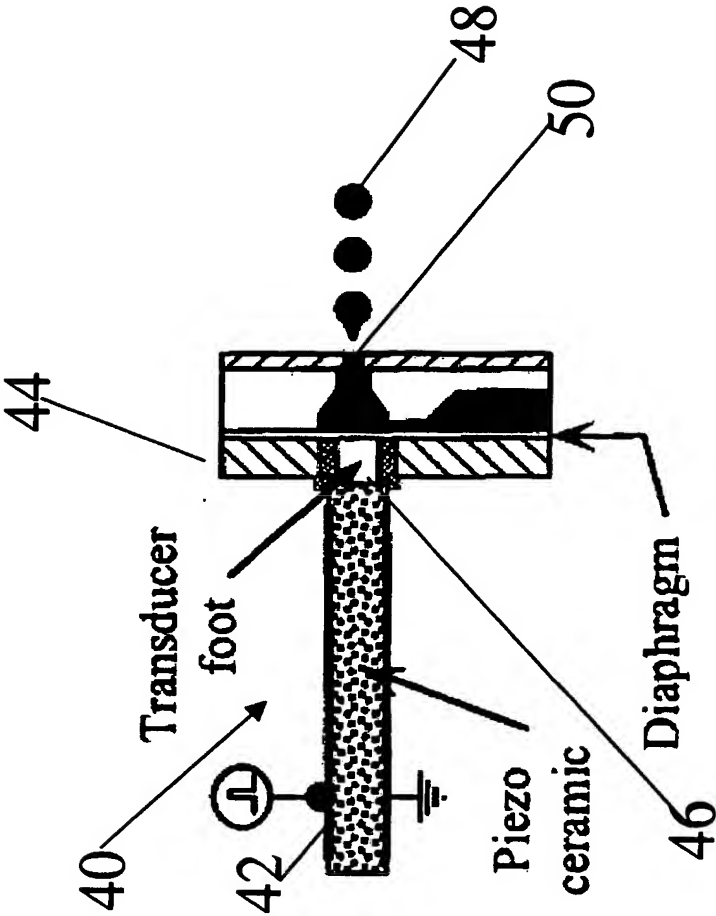


Fig. 6

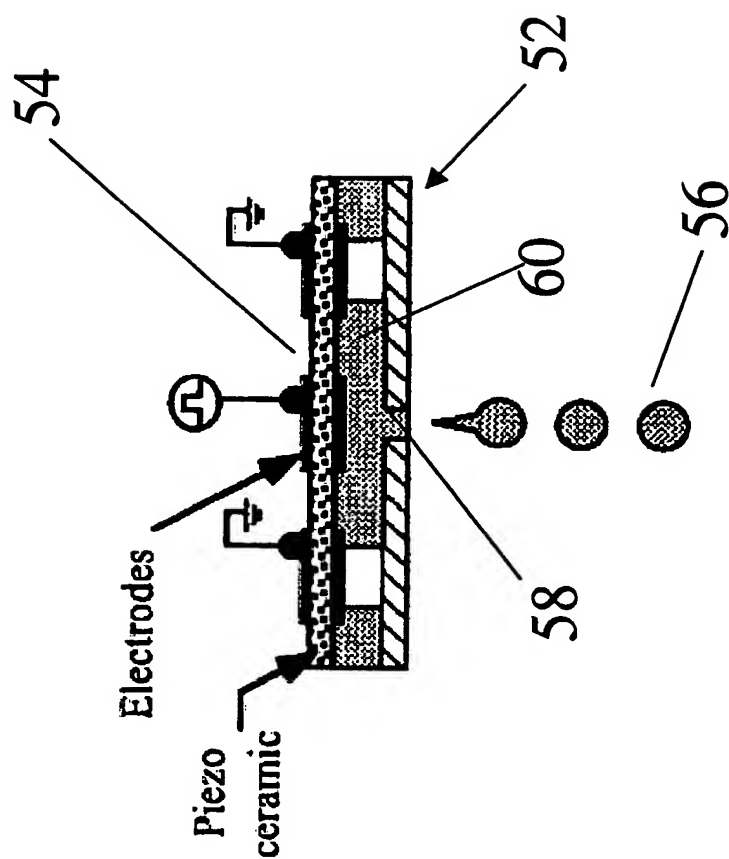


Fig. 7

8/29

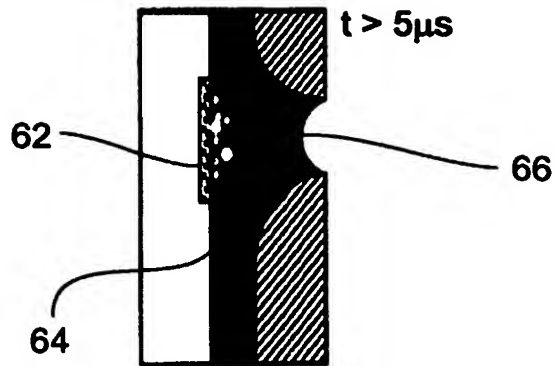


Fig. 8a

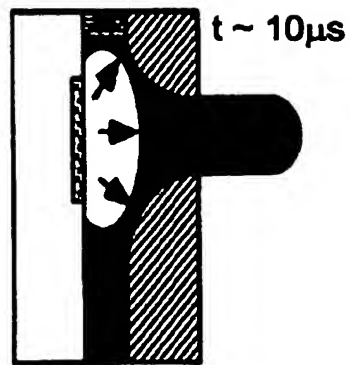


Fig. 8b

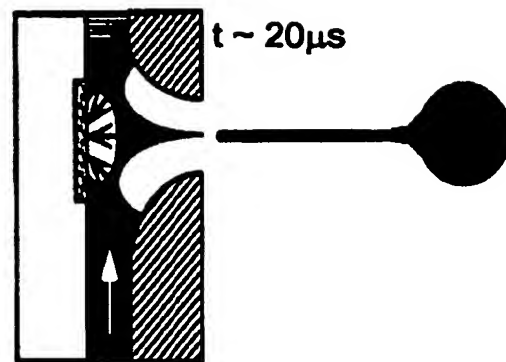


Fig. 8c

9/29

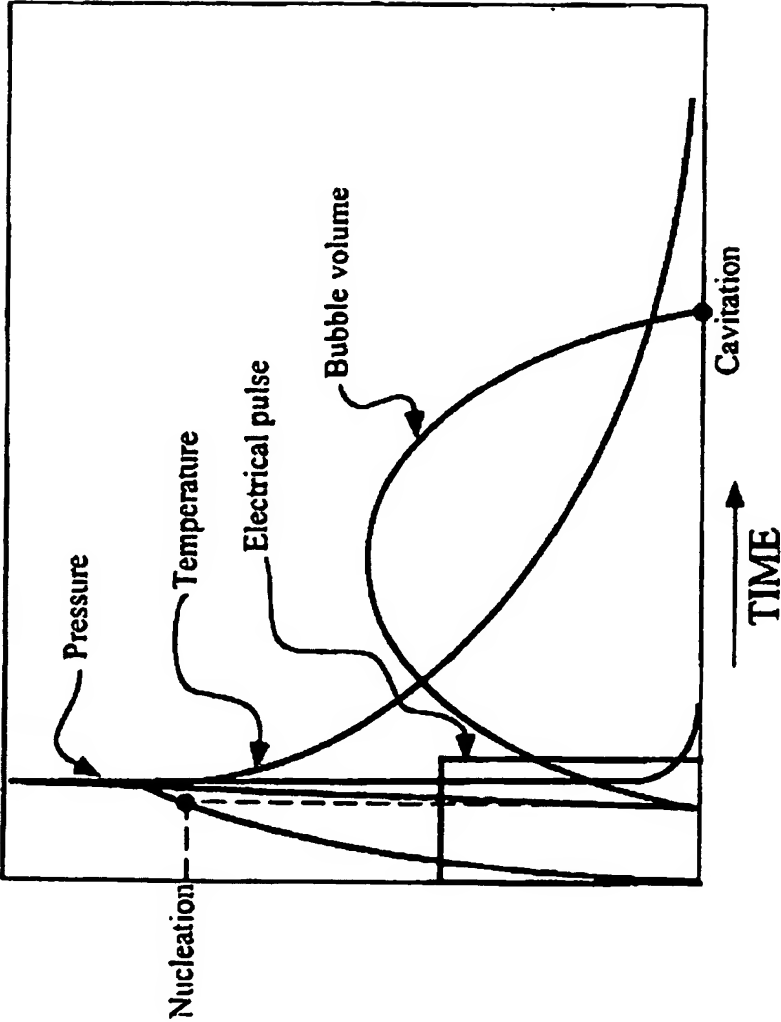


Fig. 9

Fig. 10

10/29



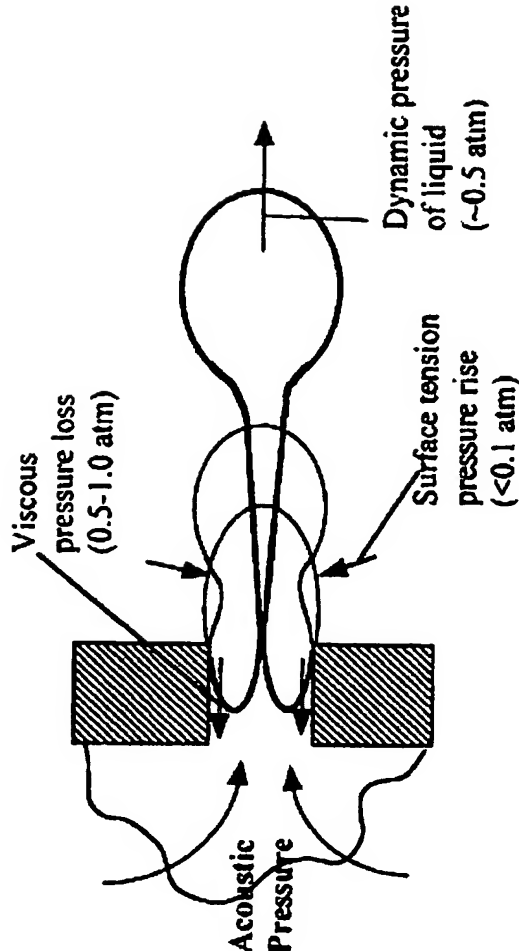
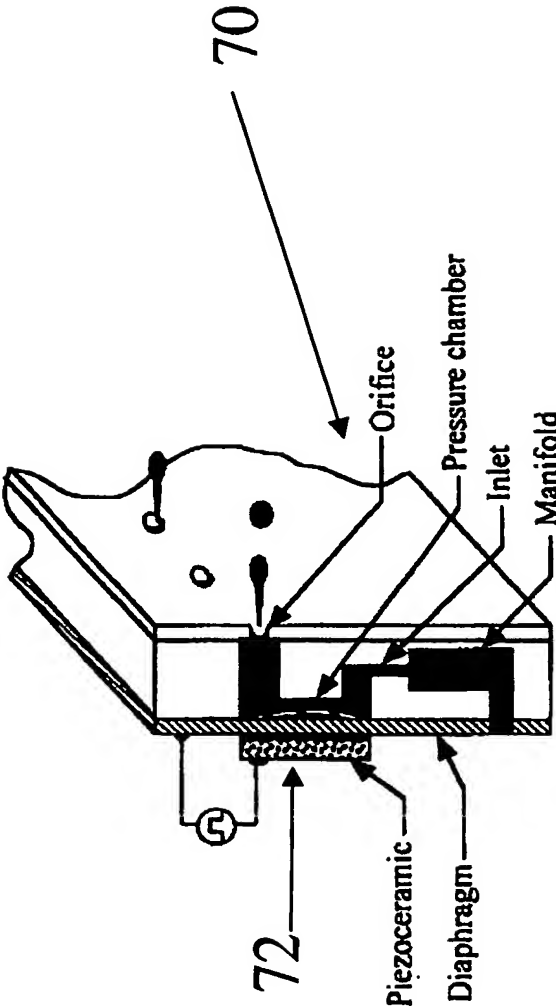


Fig. 11

Fig. 12

12/29

Break-off of Droplet IOV (50-85 us)

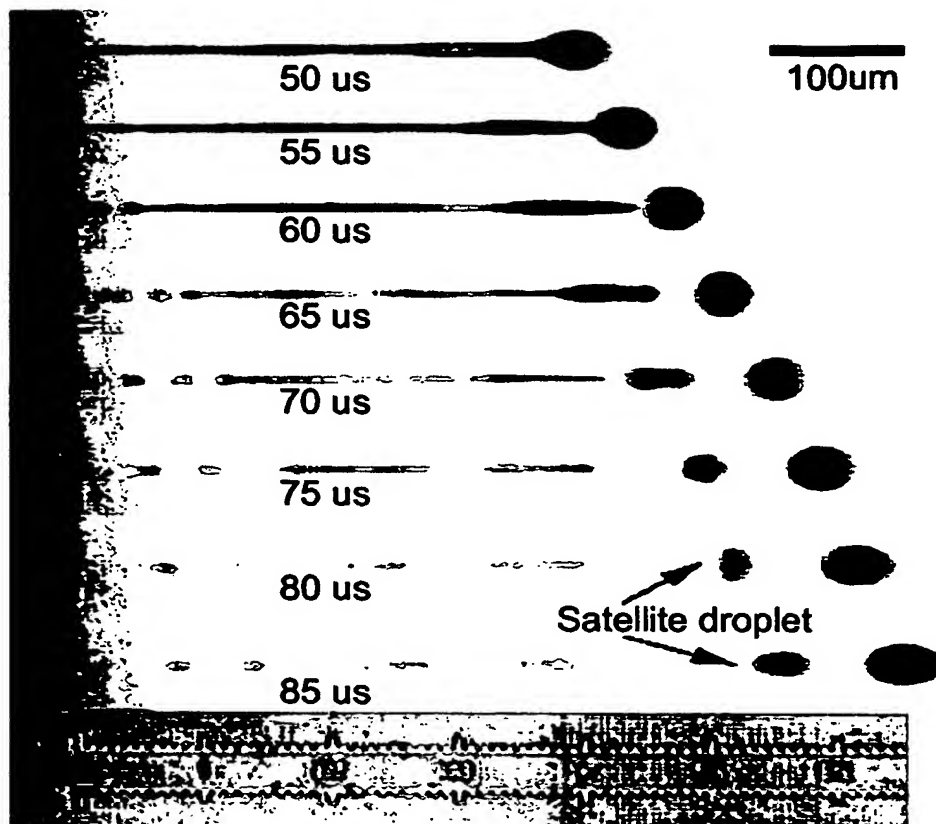


Fig. 13

13/29

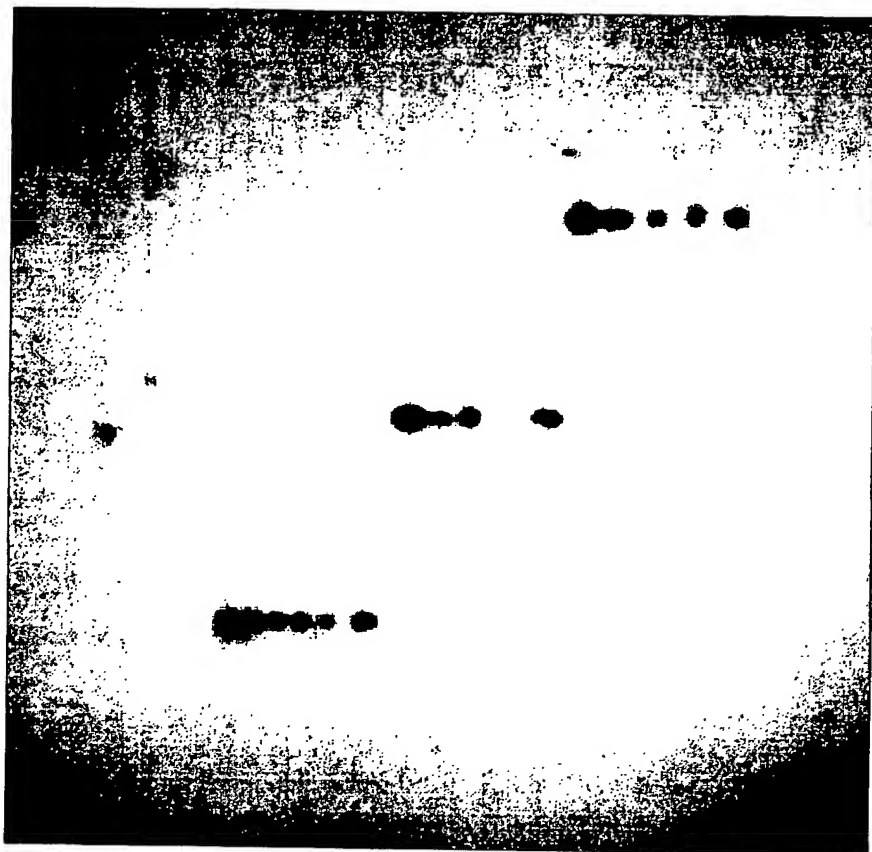


Fig. 14

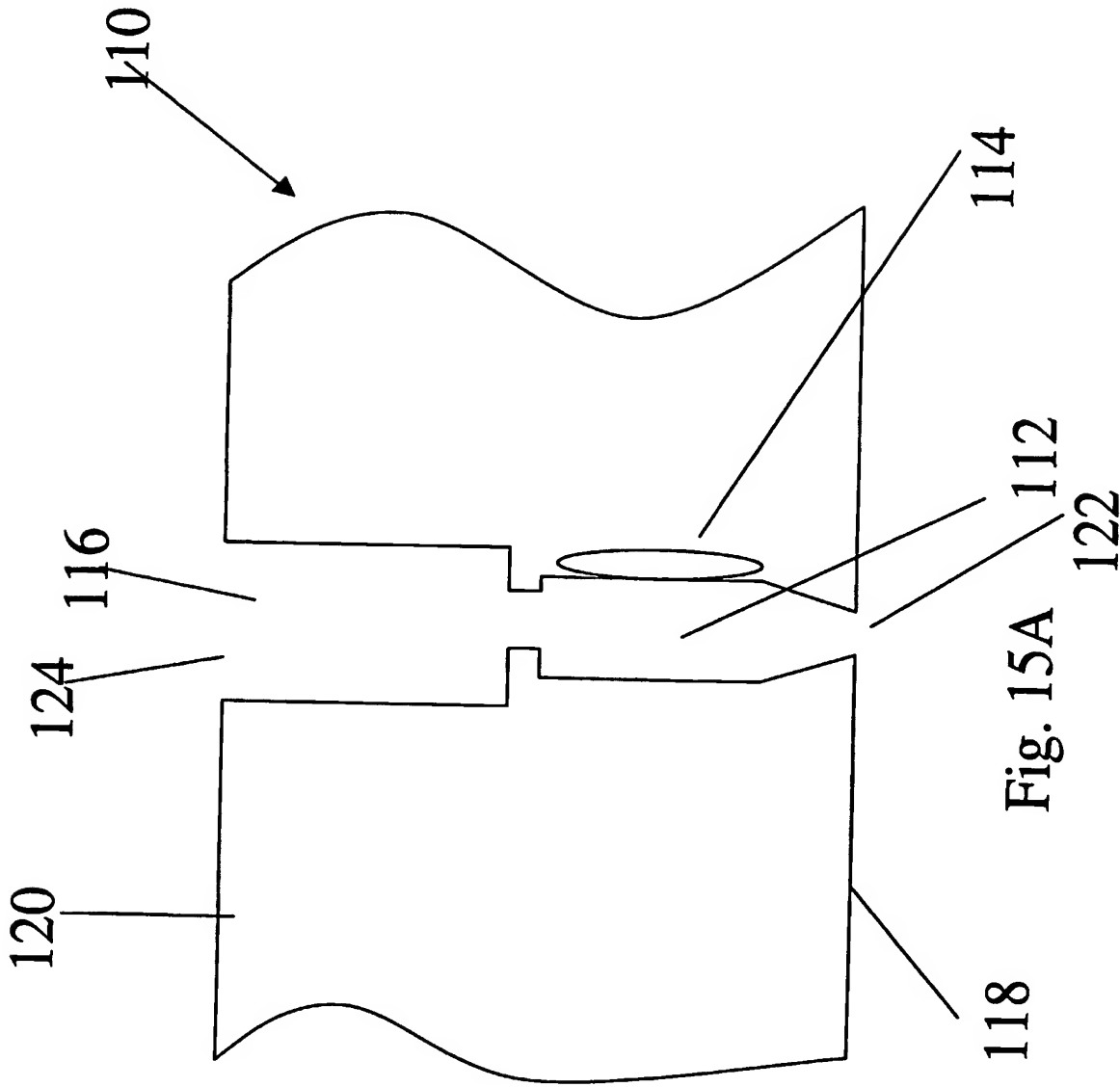


Fig. 15A

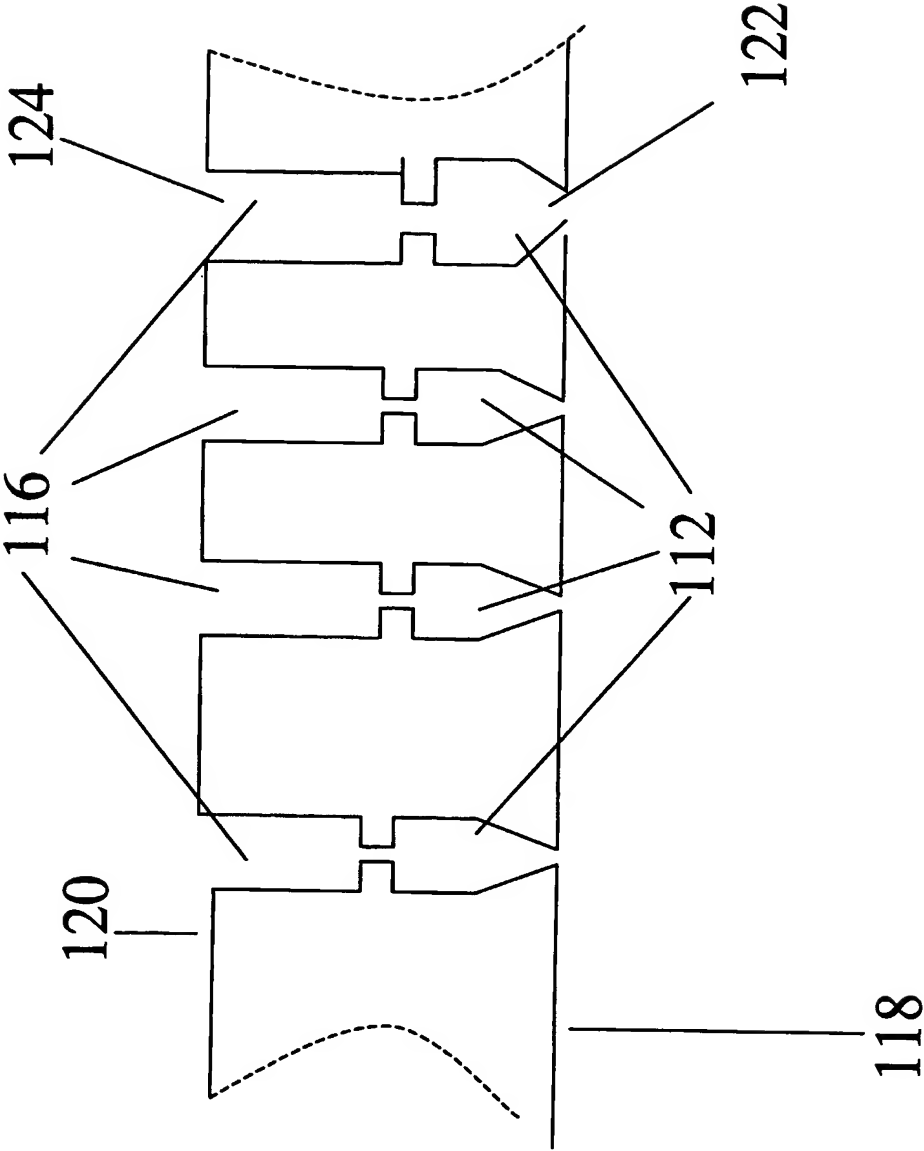


Fig. 15B

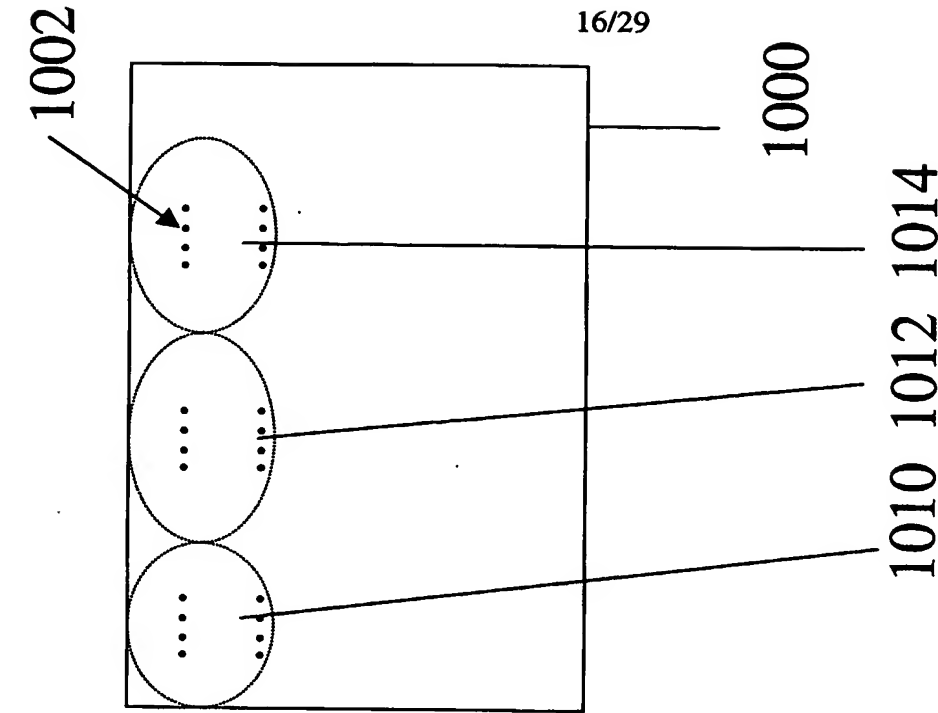


Fig. 16A

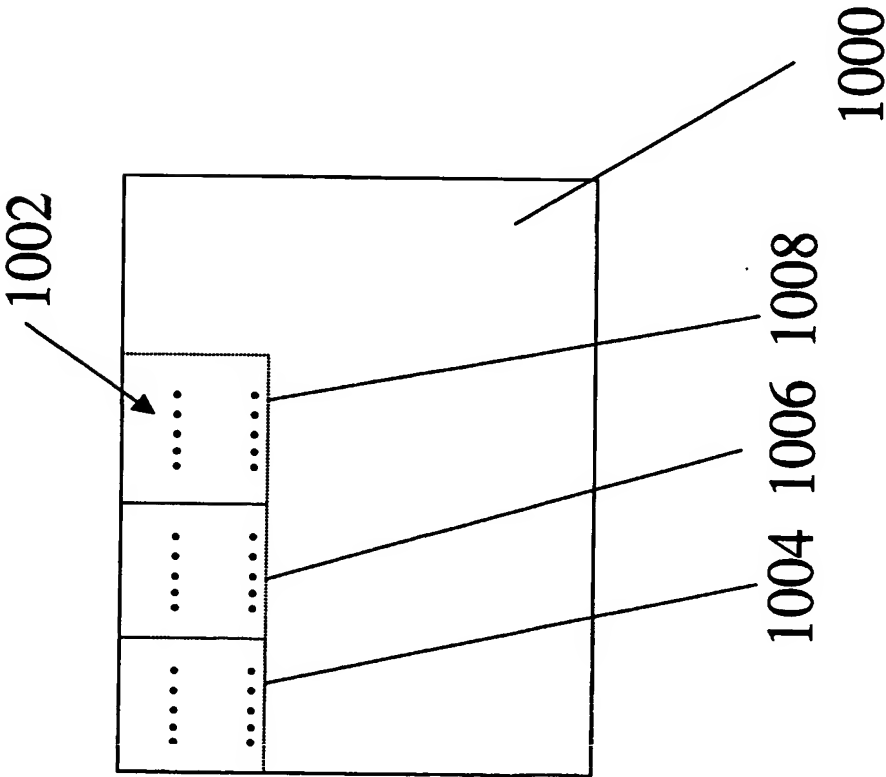


Fig. 16B

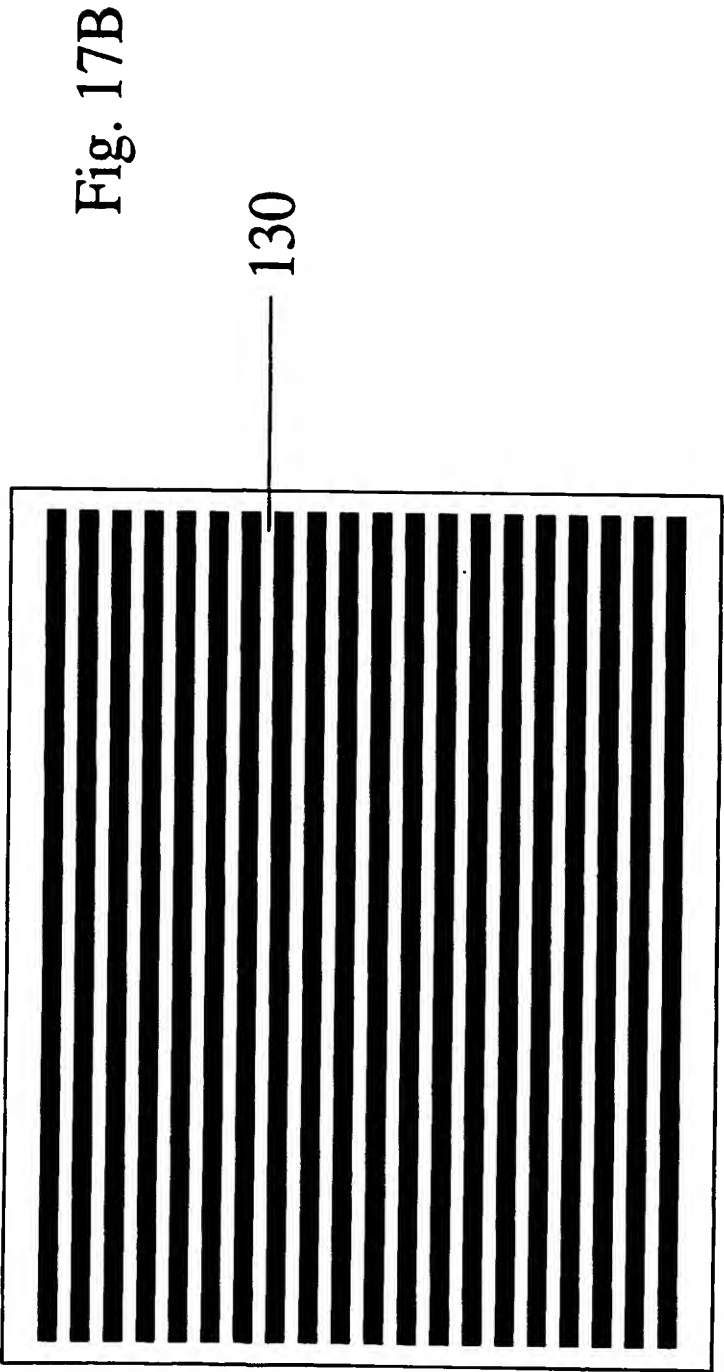
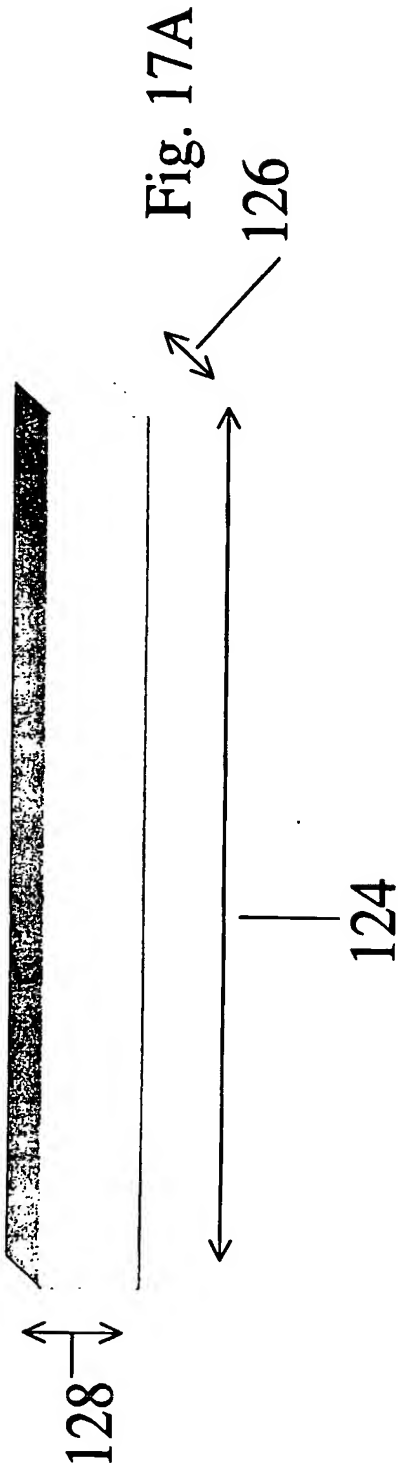


Fig. 17C

1050

18/29

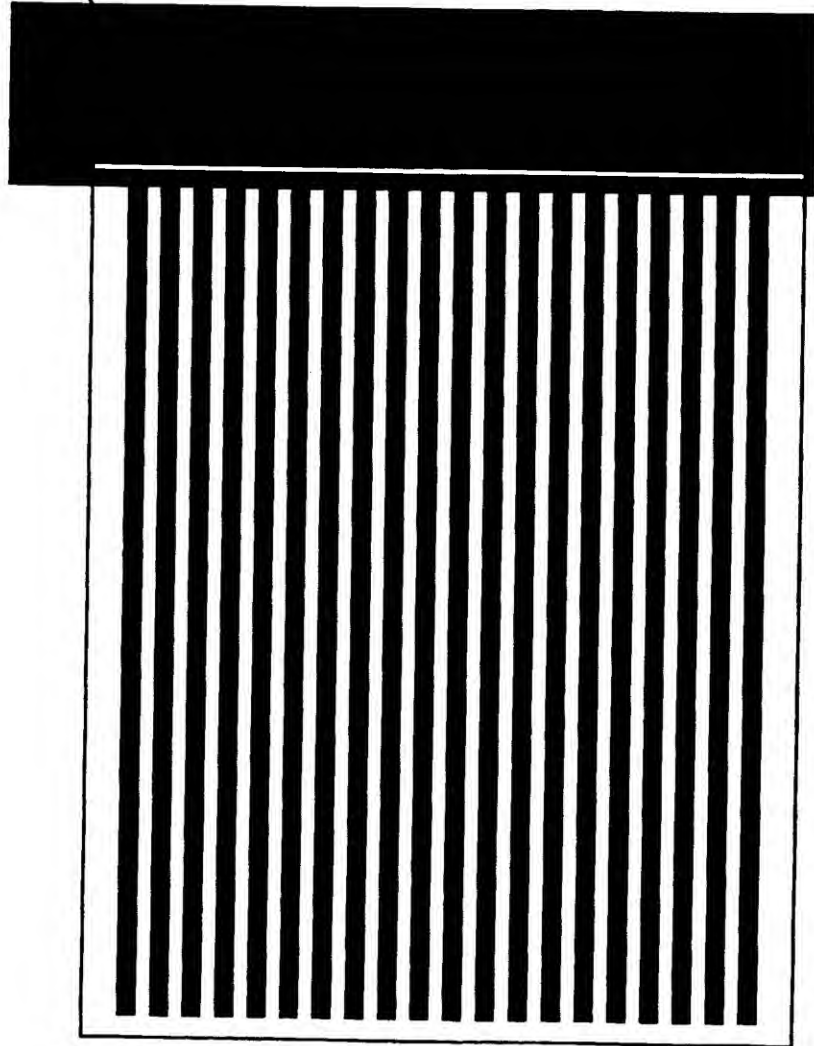


Fig. 18

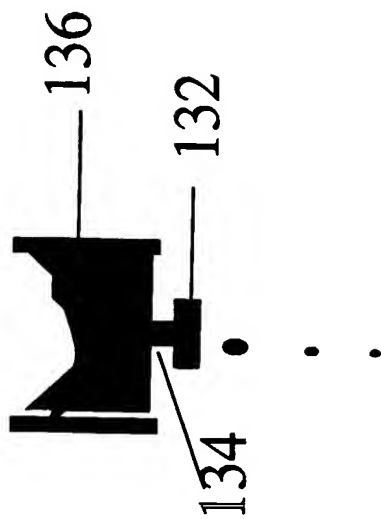
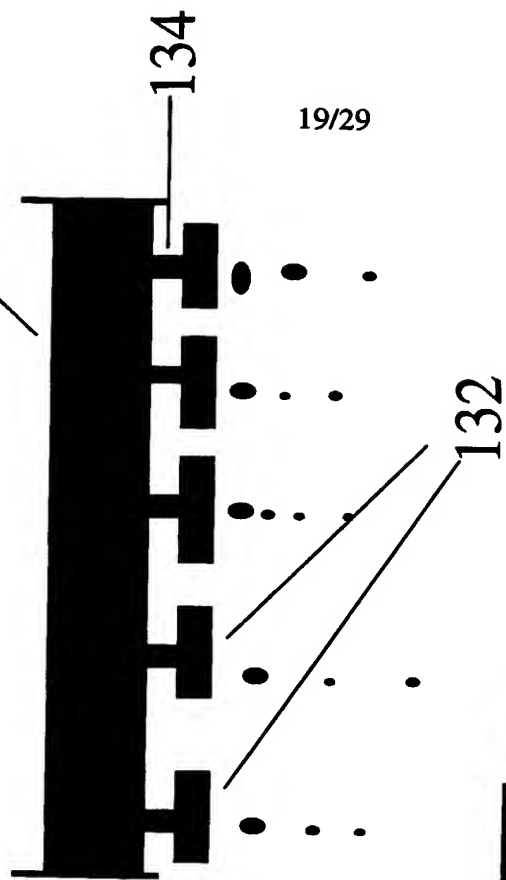
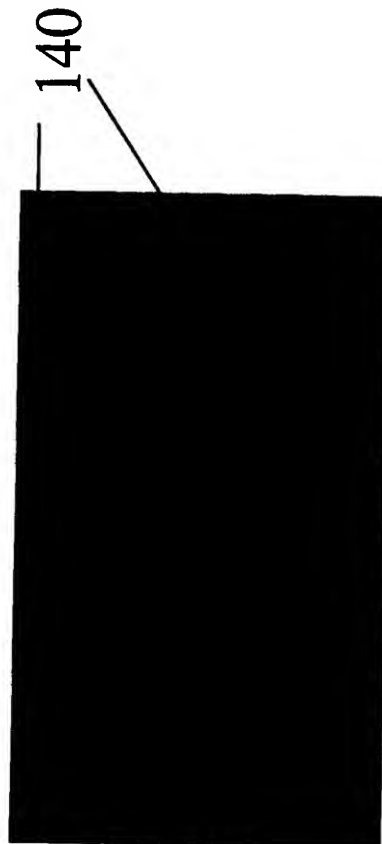


Fig. 19



19/29

Fig. 20



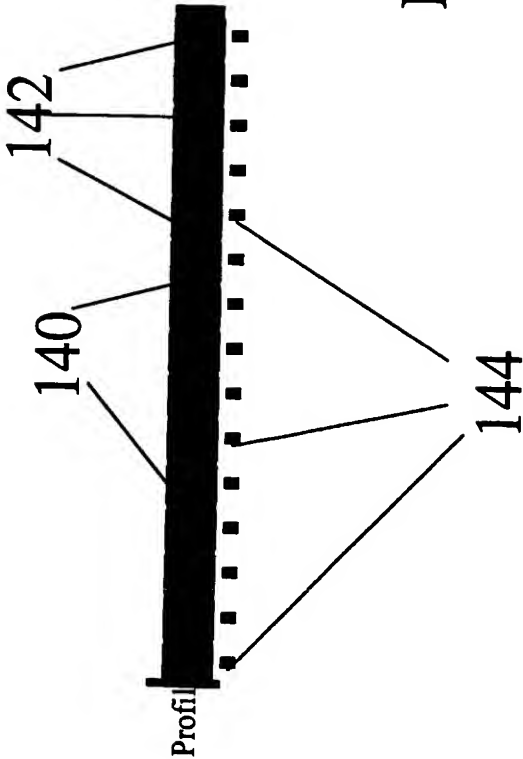


Fig. 21A

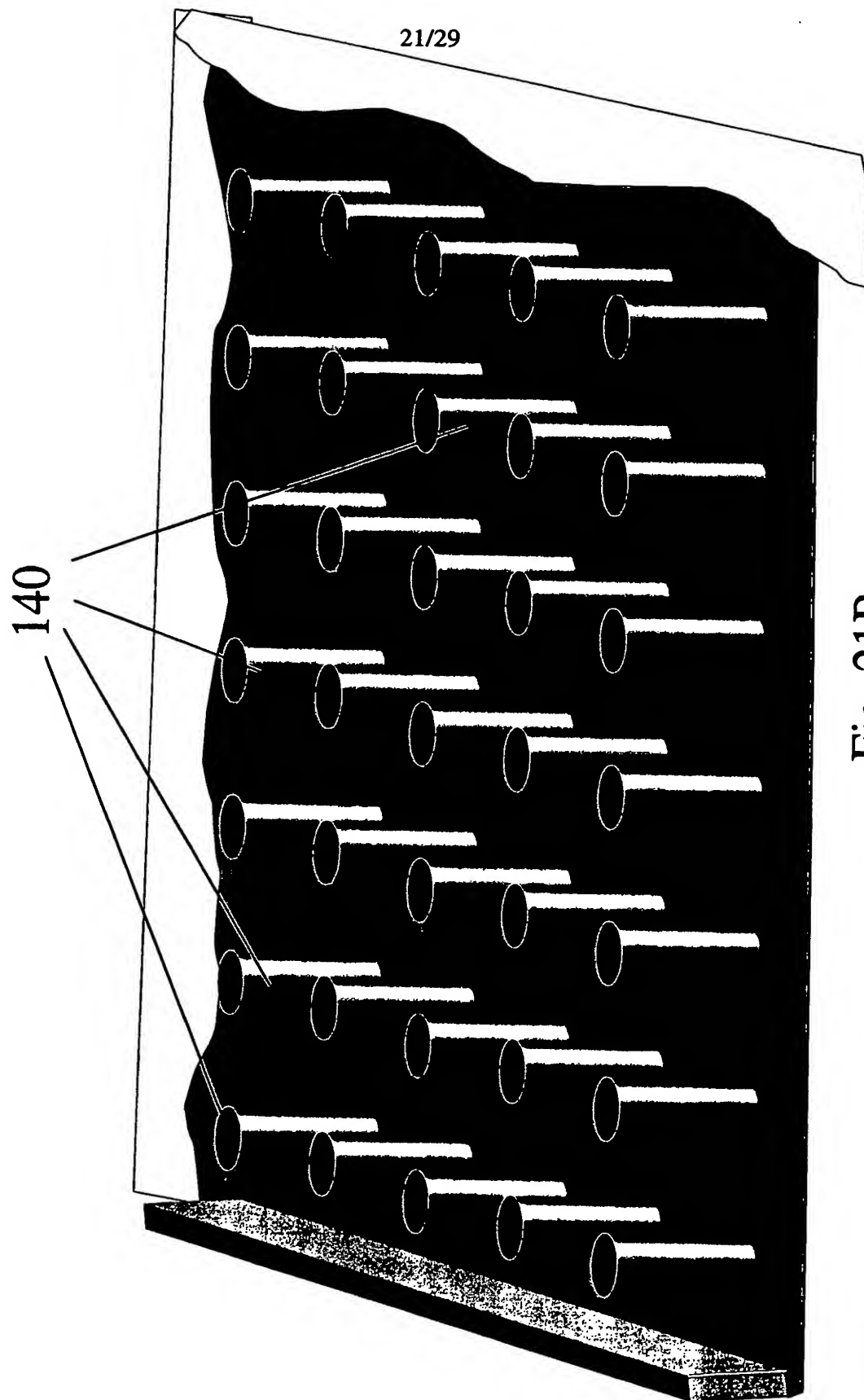
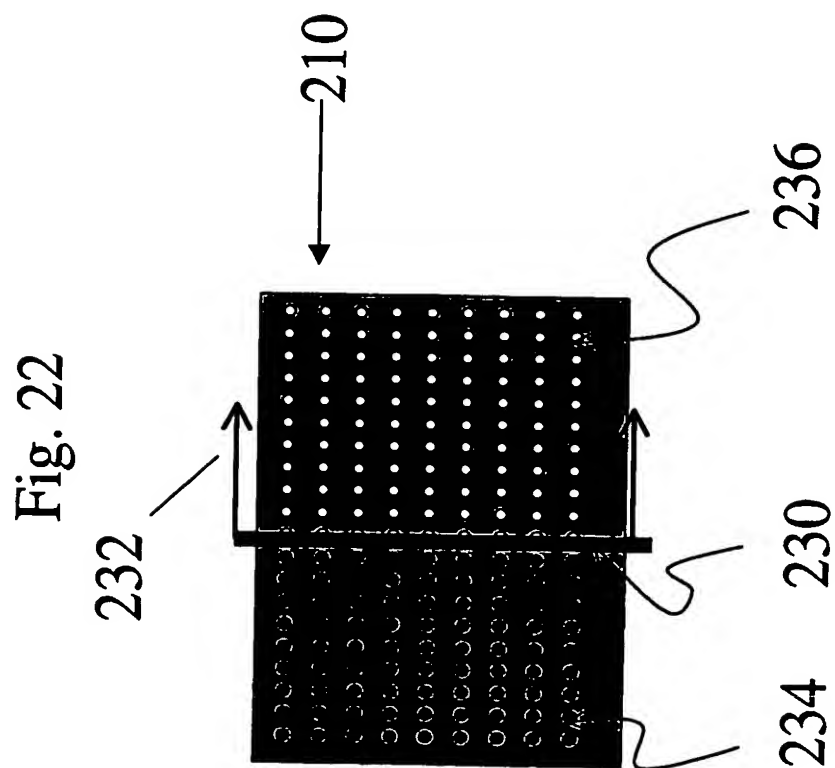


Fig. 21B

22/29



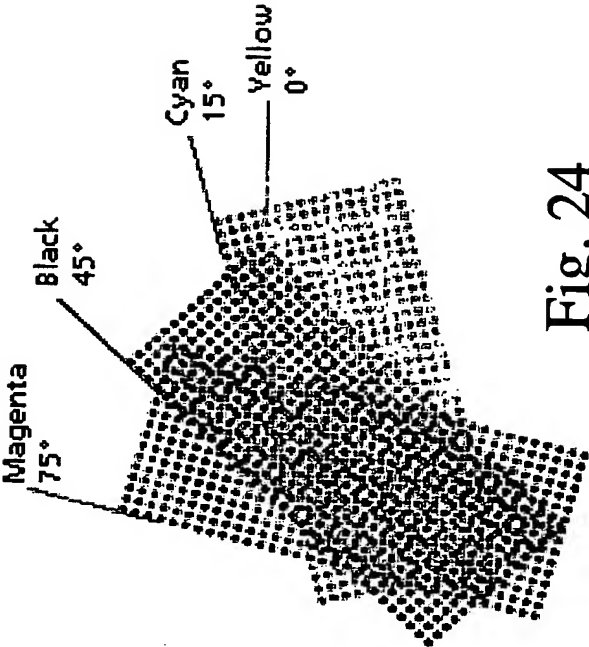
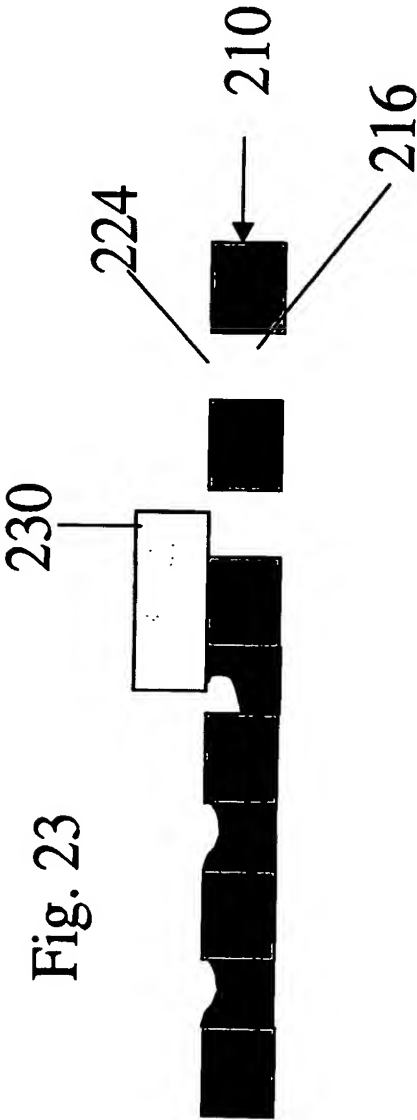


Fig. 24

24/29

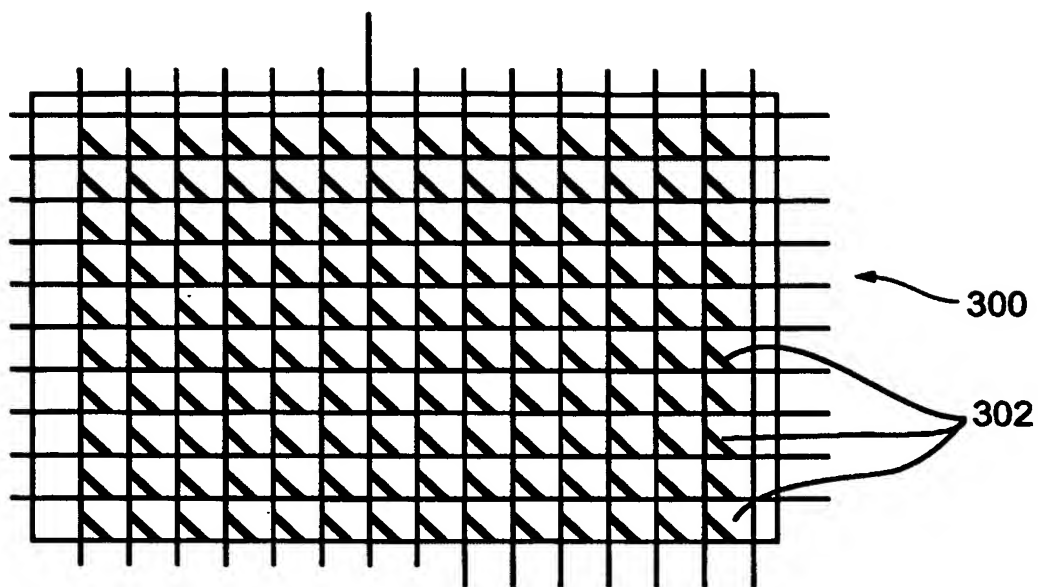


Fig. 25

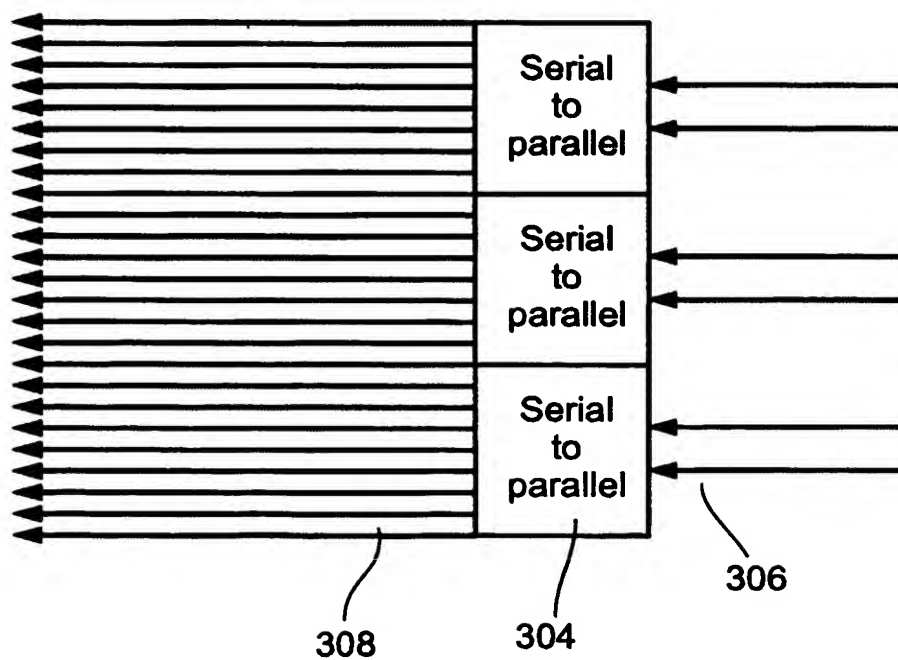


Fig. 26

25/29

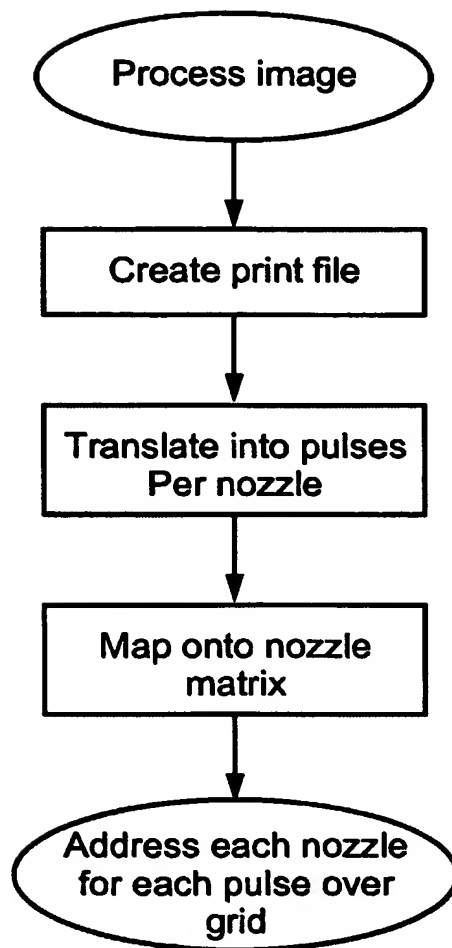


Fig. 27

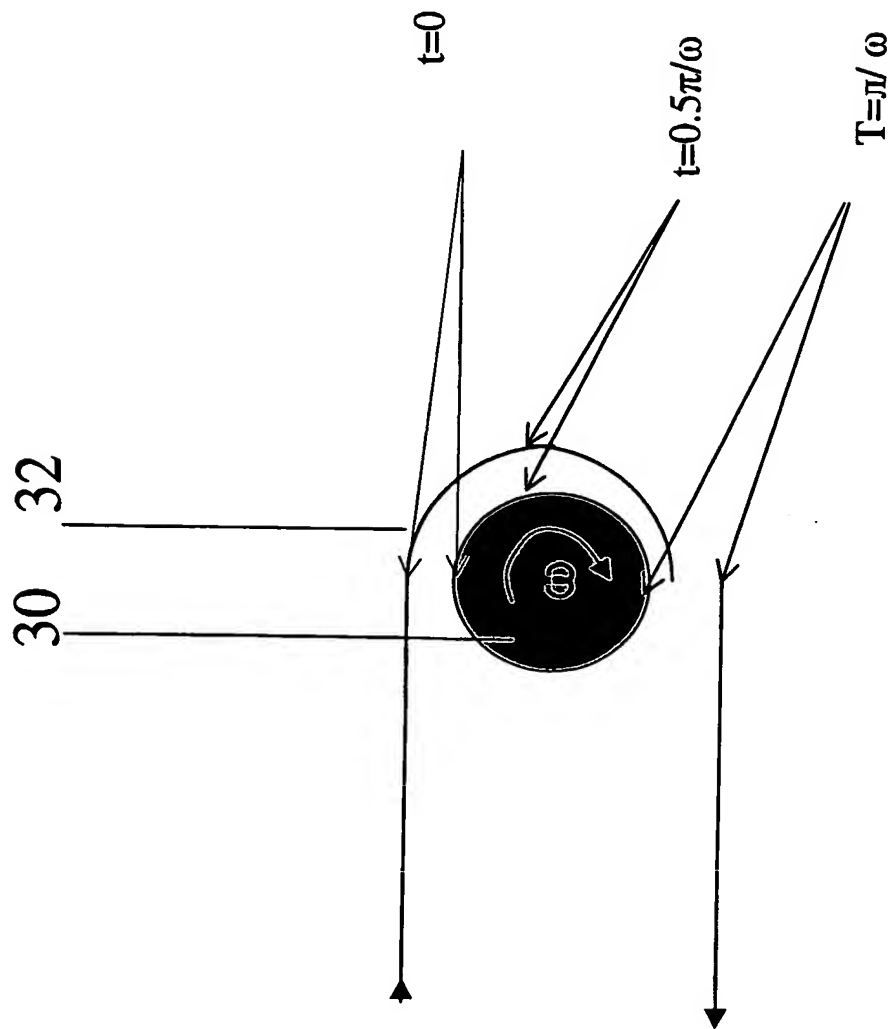


Fig. 28

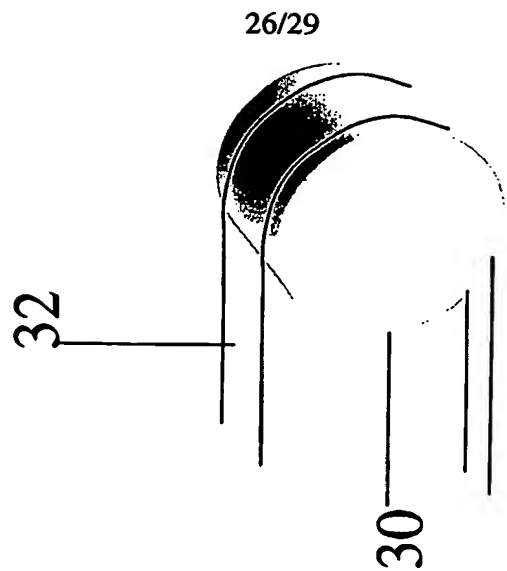
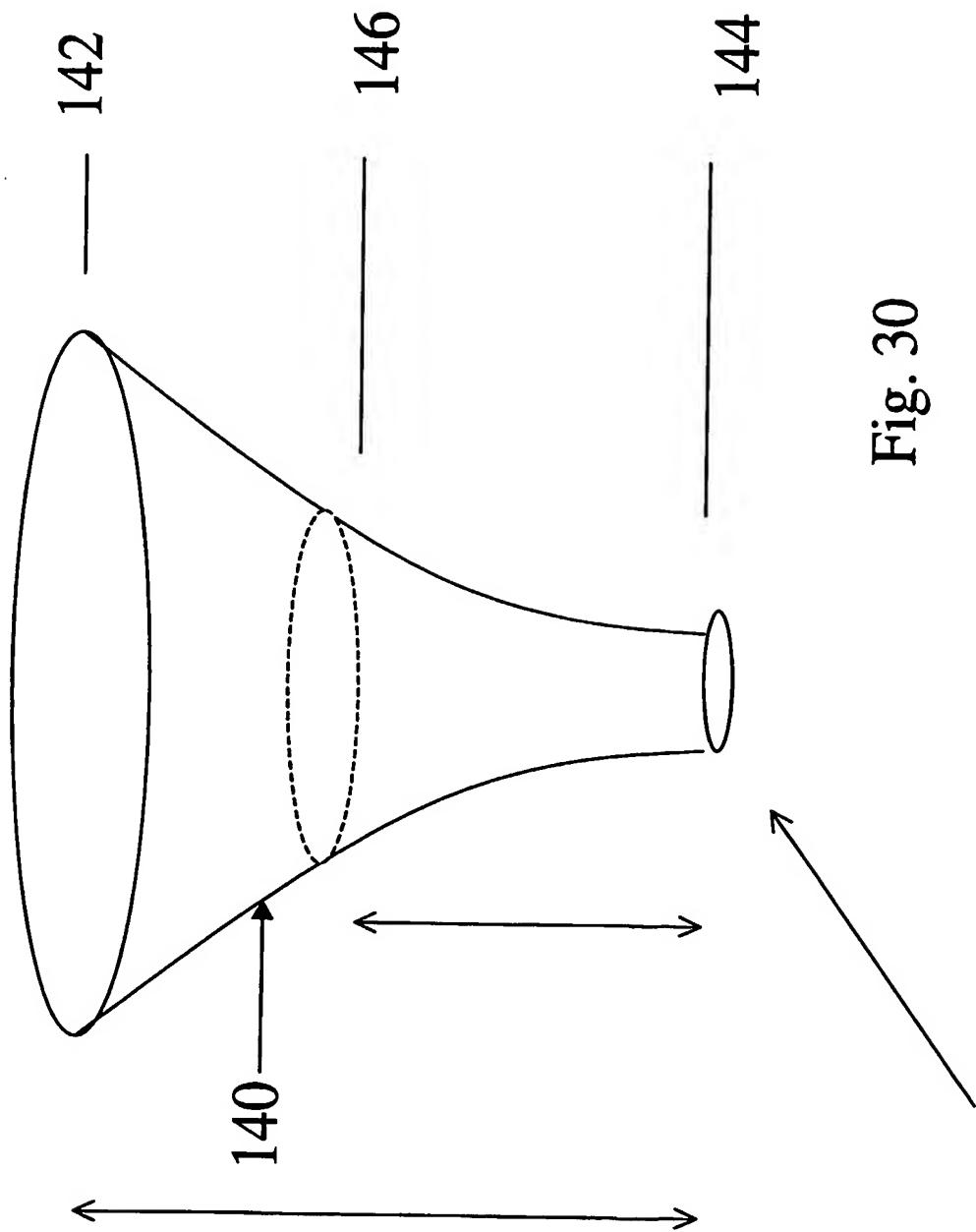


Fig. 29



28/29

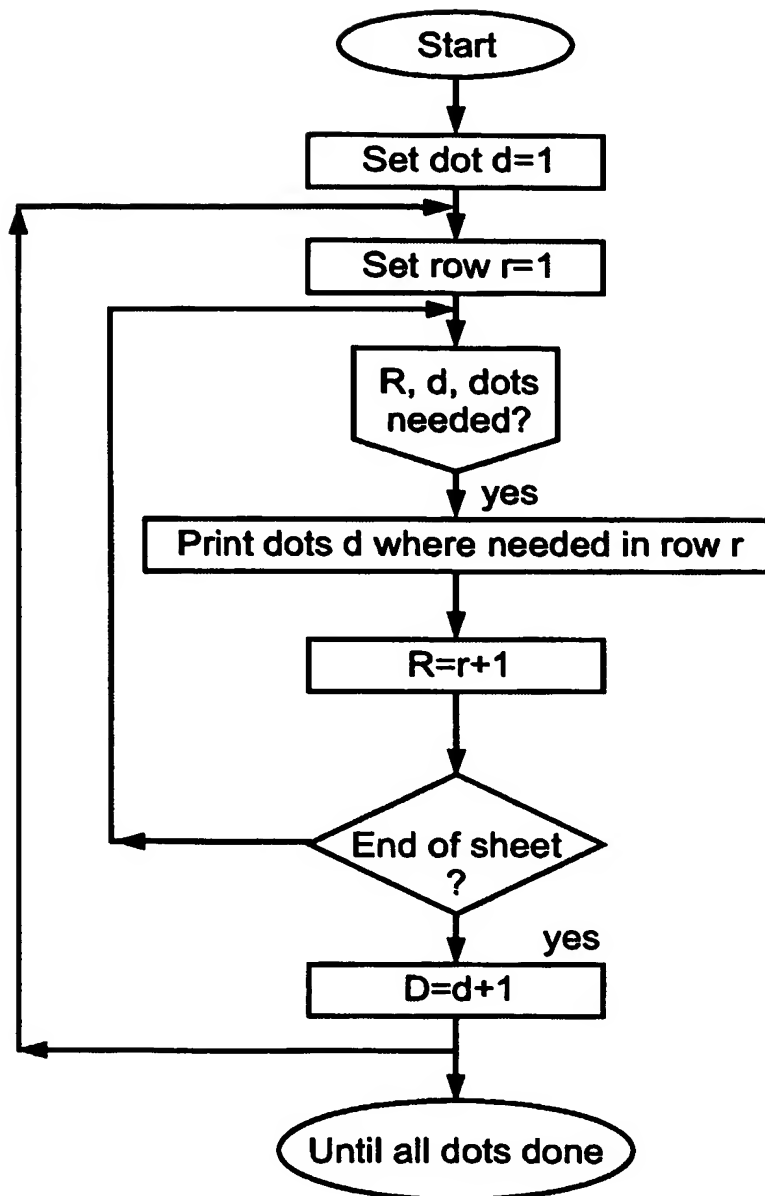


Fig. 31

